

О новых точных решениях задачи электростатики проводников

П. А. Поляков^a, Н. Е. Русакова^b, Ю. В. Самухина^c

Московский государственный университет имени М. В. Ломоносова, физический факультет, кафедра общей физики. Россия, 119991, Москва, Ленинские горы, д. 1, стр. 2.

E-mail: ^apolyakova@mail.ru, ^brusakova@physics.msu.ru, ^csamukhina@physics.msu.ru

Статья поступила 04.07.2014, подписана в печать 27.07.2014.

Найден новый класс проводящих фигур, допускающих аналитическое решение основной задачи электростатики. Получены аналитические формулы для поверхностной плотности распределения заряда для трех фигур этого класса.

Ключевые слова: задача электростатики, аналитическое решение, поверхностная плотность распределения заряда.

УДК: 537.2. PACS: 41.20.Cv.

Введение

Известно считанное количество аналитических решений задач электростатики, которые подробно рассматриваются в классических учебниках, например [1, 2]. Может показаться, что этими примерами исчерпаны все возможные точные решения и для всех остальных задач электростатики решения могут быть получены либо приближенно, либо численно. Тем не менее до настоящего времени находятся новые оригинальные решения, например [3–20]. В настоящей работе предлагается новый класс нетривиальных аналитических решений задач электростатики заряженных проводников в вакууме.

1. Постановка задачи

Для определения указанного нового класса аналитических решений рассмотрим стандартную постановку задачи электростатики для заряженного проводящего тела в вакууме, а именно уравнение Лапласа для потенциала электростатического поля φ и граничное условие Дирихле, задающее постоянное значение потенциала на поверхности проводящего тела φ_Σ :

$$\Delta\varphi = 0, \tag{1}$$

$$\varphi_\Sigma = \text{const}. \tag{2}$$

Хорошо известно, что в сферической системе координат уравнению Лапласа (1) во внешней области будет удовлетворять функция, определяемая суммой ряда по шаровым функциям [21]:

$$\varphi(r, \theta, \phi) = \sum_{n=0}^{+\infty} \sum_{k=-n}^n \frac{a_{nk}}{r^{n+1}} \cdot Y_n^k(\theta, \phi), \tag{3}$$

где $Y_n^k(\theta, \phi)$ — сферические функции [1].

Решению уравнения Лапласа будет также удовлетворять любая конечная сумма ряда (3). Решение внешней граничной задачи Коши (1), (2) будет получено, если нам удастся подобрать такие коэффициенты a_{nk} , при которых потенциал (3) на поверхности Σ нашего проводящего тела будет равен заданной константе φ_Σ в любой точке поверхности, т. е.

$$\varphi_\Sigma = \sum_{n=0}^N \sum_{k=-n}^n \frac{a_{nk}}{r^{n+1}} \cdot Y_n^k(\theta, \phi). \tag{4}$$

Выражение (4) относительно обратного радиуса $1/r$ является полиномом степени $n+1$, поэтому решение уравнения (4) для общего случая имеет аналитический вид только для полиномов не старше 4-го порядка, т. е. когда $n \leq 3$. В этом случае имеется 4 аналитических решения задачи Коши (1), (2) для замкнутых фигур, определяемых равенством (4). Форма поверхности этих фигур ($r = r(\theta, \varphi)$) задается аналитическими выражениями, определяемыми корнями соответствующих полиномиальных уравнений. В частности, при $n = 0$ имеем случай однородно заряженной сферы. В настоящей работе рассмотрены новые аналитические решения для случаев $n = 1$ и $n = 2$. Подробно проанализированы три новые проводящие фигуры, для которых найдены точные аналитические формулы, описывающие поверхностную плотность распределения заряда.

В случае, когда нет зависимости от полярного угла ϕ (осесимметричный случай), формула (3) преобразуются к виду [1]

$$\varphi(r, \theta) = \sum_{n=0}^3 a_n \frac{P_n(\cos \theta)}{r^{n+1}}, \tag{5}$$

где $P_n(\cos \theta)$ — полиномы Лежандра порядка n , $a_n = a_{nk}$ при $k = 0$.

2. Уравнение поверхности и поверхностное распределение заряда для осесимметричного случая при $n = 1$

Для осесимметричного случая при $n = 1$ из (5) имеем следующее уравнение поверхности:

$$\frac{1}{4\pi\epsilon_0} \left(\frac{a_0}{r} \pm \frac{a_1}{r^2} P_1(\cos \theta) \right) = \varphi, \quad \phi \in [0; 2\pi), \tag{6}$$

где ϵ_0 — электрическая постоянная, a_1 и a_0 — некоторые постоянные, φ — постоянный потенциал поверхности рассматриваемой фигуры. Параметр a_0 имеет смысл суммарного электрического заряда q , распределенного по поверхности, задаваемой уравнением (6).

Разделим обе части равенства (6) на величину $a_0/4\pi\epsilon_0 r_0$, равную потенциалу проводящей сферы радиуса r_0 с суммарным зарядом $q = a_0$. Тогда уравнение поверхности (6) примет следующий безразмерный вид:

$$\Psi x^2 - x \mp k P_1(\cos \theta) = 0, \tag{7}$$

где

$$x = \frac{r}{r_0}, \quad k = \frac{a_1}{a_0 r_0}, \quad \Psi = \frac{\varphi}{\varphi_0} = \frac{\varphi}{q/(4\pi\epsilon_0 r_0)}. \quad (8)$$

При выборе знаков «+» и «-» имеем две идентичные фигуры, зеркально симметричные относительно друг друга. Для определенности ограничимся знаком «-». Данное уравнение имеет два корня, но физический смысл имеет только один. В результате из (7) получим следующее уравнение поверхности в ранее введенных безразмерных сферических координатах:

$$x(\theta) = \frac{1 + \sqrt{1 + 4\Psi k \cos \theta}}{2\Psi}, \quad \phi \in [0; 2\pi), \quad (9)$$

где

$$1 + 4\Psi k P_1(\cos \theta) \geq 0. \quad (10)$$

Соотношение (10) накладывает ограничения на значения параметров Ψ и k .

Исследуем далее распределение плотности заряда на поверхности (9). Известно, что напряженность электрического поля, создаваемого проводником вблизи его поверхности, равна

$$E = \frac{\sigma}{\epsilon_0} = |\nabla\varphi|, \quad (11)$$

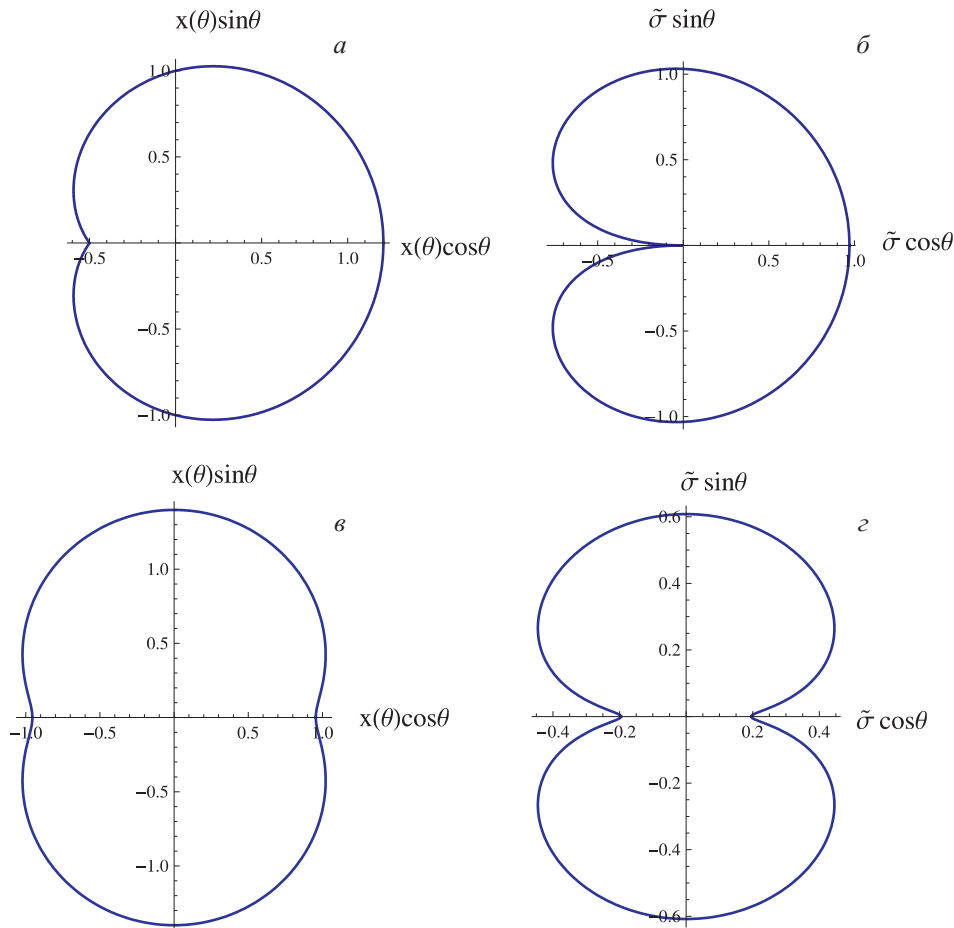
где σ — плотность распределения зарядов по поверхности проводника. Из (11) для плотности заряда для безразмерных величин (8) получим

$$\sigma = \frac{q}{4\pi r_0^2} \sqrt{\left(\frac{\partial\Psi}{\partial x}\right)^2 + \frac{1}{x^2} \cdot \left(\frac{\partial\Psi}{\partial\theta}\right)^2}. \quad (12)$$

Введем безразмерную плотность заряда $\tilde{\sigma} = \sigma/\sigma_0$, где $\sigma_0 = q/4\pi r_0^2$ — плотность распределения заряда по поверхности сферического проводника радиуса r_0 . Тогда, используя введенные выше обозначения, получим из (12) окончательную формулу для безразмерной поверхностной плотности распределения заряда:

$$\tilde{\sigma} = \sqrt{\left(\frac{1}{x^2(\theta)} + \frac{2k \cos \theta}{x^3(\theta)}\right)^2 + \left(\frac{k \sin \theta}{x^3(\theta)}\right)^2}. \quad (13)$$

На рисунке, *a, б* приведены форма поверхности (9) и распределение заряда по поверхности фигуры (13) соответственно при значениях параметров $\Psi = 1$ и $k = 0.25$ в сечении плоскостью, перпендикулярной плоскости Oxy (ось z на рисунке горизонтальна). Эти значения параметров являются критическими, при превышении данных значений полученная поверхность будет разрывной.



Осесимметричный случай при $n = 1$. Форма поверхности тела вращения, определяемая формулой (9), в сечении плоскостью, перпендикулярной плоскости xy (*a*); распределение заряда по поверхности тела вращения, определяемое формулой (13), в сечении плоскостью, перпендикулярной плоскости xy (*б*). Осесимметричный случай при $n = 2$. Форма поверхности тела вращения, определяемая формулой (16), в сечении плоскостью, перпендикулярной плоскости xy (*в*); распределение заряда по поверхности тела вращения, определяемое формулой (17), в сечении плоскостью, перпендикулярной плоскости xy (*г*)

3. Уравнение поверхности и поверхностное распределение заряда для осесимметричного случая при $n = 2$

Для осесимметричного случая при $n = 2$ из (5) имеем следующее уравнение поверхности:

$$\frac{1}{4\pi\epsilon_0} \left(\frac{a_0}{r} \pm \frac{a_2}{r^3} P_2(\cos \theta) \right) = \varphi.$$

Введем безразмерные параметры

$$\kappa = \epsilon/r_0^2, \quad \epsilon = a_2/a_0. \quad (14)$$

С учетом (14) уравнение поверхности примет вид

$$\Psi x^3 - x^2 \mp \kappa P_2(\cos \theta) = 0. \quad (15)$$

А. Рассмотрим случай со знаком «+»:

$$\Psi x^3 - x^2 + \kappa P_2(\cos \theta) = 0.$$

Данное уравнение имеет три корня, два из которых мнимые. Действительный корень определяется выражением

$$x_1(\theta) = \frac{1}{3\Psi} + \frac{2^{1/3}}{3\Psi \left(L(\theta) + \sqrt{-4 + L^2(\theta)} \right)^{1/3}} + \frac{\left(L(\theta) + \sqrt{-4 + L^2(\theta)} \right)^{1/3}}{3 \cdot 2^{1/3}\Psi}, \quad (16)$$

где введено обозначение $L(\theta) = 2 - \frac{27}{2}\Psi^2\kappa(-1 + 3\cos^2\theta)$. При этом существует ограничение на параметры Ψ и κ :

$$-4 + \left(2 - 27\Psi^2\kappa(-1 + 3\cos^2\theta) \right)^2 \geq 0.$$

Произведя расчеты, аналогичные разделу 2, получим окончательную зависимость безразмерной плотности распределения заряда по поверхности тела от азимутального угла, параметра κ и безразмерного потенциала Ψ :

$$\tilde{\sigma} = \sqrt{\left(\frac{3\kappa(-1 + 3\cos^2\theta)}{2x_1^4(\theta)} - \frac{1}{x_1^2(\theta)} \right)^2 + \frac{9\kappa^2 \cos^2\theta \sin^2\theta}{x_1^8(\theta)}}, \quad (17)$$

где $x_1(\theta)$ определяется формулой (16).

На рисунке, v, z показаны форма поверхности фигуры (16) и поверхностное распределение заряда (17) при критических значениях параметров $\kappa = 0.25$, $\Psi = 0.76$ в сечении плоскостью, перпендикулярной плоскости Oxy (ось z на рисунке горизонтальна).

Б. Рассмотрим случай, когда в уравнении (15) перед параметром κ стоит знак «-»:

$$\Psi x^3 - x^2 - \kappa P_2(\cos \theta) = 0. \quad (18)$$

Данное уравнение имеет 3 корня, два из которых мнимые. Из (18) получаем следующее уравнение поверхности в безразмерных сферических координатах:

$$x_2(\theta) = \frac{1}{3\Psi} + \frac{2^{1/3}}{3\Psi \left(M(\theta) + \sqrt{-4 + M^2(\theta)} \right)^{1/3}} + \frac{\left(M(\theta) + \sqrt{-4 + M^2(\theta)} \right)^{1/3}}{3 \cdot 2^{1/3}\Psi}, \quad (19)$$

где введено обозначение $M(\theta) = 2 + \frac{27}{2}\Psi^2\kappa(-1 + 3\cos^2\theta)$.

Аналогично описанному выше алгоритму получим выражение для безразмерной плотности распределения заряда по поверхности данной фигуры вращения:

$$\tilde{\sigma} = \sqrt{\left(\frac{3\kappa(-1 + 3\cos^2\theta)}{2x_2^4(\theta)} + \frac{1}{x_2^2(\theta)} \right)^2 + \frac{9\kappa^2 \cos^2\theta \sin^2\theta}{x_2^8(\theta)}},$$

где $x_2(\theta)$ определяется формулой (19).

Заключение

Таким образом, в настоящей работе показано, что существует конечный класс новых аналитических решений задач электростатики, который определяется возможностью аналитического решения уравнения для полинома N -й степени. В общем случае аналитическое решение возможно для полиномов не старше 4-го порядка.

В работе показано, что имеются новые трехмерные проводящие фигуры, которые допускают решение задачи электростатики. Подробно исследованы три фигуры (одна несимметричная и две симметричные). Для этих фигур получены аналитические формулы для поверхностной плотности распределения заряда. Исследованы особенности распределения заряда и построены соответствующие графики.

Список литературы

1. Ландау Л.Д., Лифшиц Е.М. Электродинамика сплошных сред. 4-е изд. М., 2005.
2. Смайт В. Электростатика и электродинамика. М., 1954.
3. Polyakov P.A., Rusakova N.E., Samukhina Yu.V., Giudjehov I. // Math. and Natural Sci. 2013. **3**. P. 33.
4. Поляков П.А., Русакова Н.Е., Самухина Ю.В. // Сборник трудов 21-й Международной конференции «Электромагнитное поле и материалы». 2013.
5. Lekner J. // J. of Electrostatics. 2010. **68**. P. 299.
6. Ping Zhu, Yi Jie Zhu. // J. of Electrostatics. 2012. **70**. P. 25.
7. Kolikov K., Ivanov D., Epitropov Y., Bozhkov S. // J. of Electrostatics. 2012. **70**. P. 91.
8. Ciftja O. // J. of Electrostatics. 2013. **71**. P. 102.
9. Le Ru E.C., Etchegoin P.G. // J. Chem. Phys 2009. **1309**. P. ???.
10. Jiang Z. // J. of Electrostatics. 2003. **58**. P. 247.
11. Giuliani G.F., Vignale G. ??? Cambridge University Press, 2005. P. 13.
12. Bernu B., Delyon F., Duneau M., Holzmann M. // Phys. Rev. B. 2008. **78**. P. 245110.
13. Ciftja O. // J. Math. Phys. 2011. **52**. P. 122105.
14. Ciftja O. // Phys. Lett. 2010. **A 374**. P. 981.
15. Ciftja O. // Eur. J. Phys. 2011. **32**. P. 55.
16. Ciftja O. // Mod. Phys. Let. 2009. **B 23**. P. 3055.
17. Aghamohammadi A. // Eur. J. Phys. 2011. **32**. P. 633.
18. Ishizuki M.I., Takemiya H., Okunishi T., Takeda K. // Phys. Rev. B. 2012. **85**. P. 155316.
19. Akbar S., Lee I.-H. // Phys. Rev. B. 2001. **63**. P. 165301.
20. Zhu P. // J. Yunnan Nounal Univ. 2005. P. 42.
21. Справочник по специальным функциям с формулами, графиками и математическими таблицами / Под ред. М. Абрамовица, И. Стиган. Пер. с англ. под ред. В. А. Диткина, Л. Н. Карамзиной. М., 1979.

On new exact solutions to the problem of electrostatics of conductors**P. A. Polyakov^a, N. E. Rusakova^b, Yu. V. Samukhina^c***Department of General Physics, Faculty of Physics, M. V. Lomonosov Moscow State University, Moscow 119991, Russia.**E-mail: ^apolyakovpa@mail.ru, ^brusakova@physics.msu.ru, ^csamukhina@physics.msu.ru.*

A new class of conducting figures that allow an analytical solution of a main task of electrostatics was found. Analytical formulas for the surface density of the charge for three figures of this class were obtained.

Keywords: the problem of electrostatics, analytical solution, surface charge density.

PACS: 41.20.Cv.

Received 4 July 2014.

English version: *Moscow University Physics Bulletin* 6(2014).

Сведения об авторах

1. Поляков Пётр Александрович — докт. физ.-мат. наук, профессор, профессор; тел.: (495) 939-14-89; e-mail: polyakovpa@mail.ru.
2. Русакова Наталья Енчуновна — канд. физ.-мат. наук, ассистент; тел.: (495) 939-14-89, e-mail: rusakova@physics.msu.ru.
3. Самухина Юлия Владимировна — аспирант; e-mail: samukhina@physics.msu.ru.